

описывающих локальную поляризационную анизотропию волокна, т. е. решают основную метрическую задачу. Кроме того, из них видно, что значений  $\beta$ ,  $\gamma$  и их производных, определяемых в методе ПР, достаточно для того, чтобы найти распределение линейного двулучепреломления по длине волокна.

В [3] методом ПР измерены  $\beta(z)$  и  $\gamma(z)$  для участка волокна, выбранного в соответствии с моделью регулярного волокна, и в этом приближении найдены линейное двулучепреломление, оптическая активность и азимут оси линейного двулучепреломления. По данным этой работы с помощью (6) нами была рассчитана зависимость линейного двулучепреломления от длины волокна. По зависимости  $\Delta(z)$  найдено среднее значение  $\Delta_{cp} = 0.58$  рад/м, что находится в хорошем соответствии с  $\Delta = 0.57$  рад/м, определенным с применением модели регулярного волокна. Кроме того, развитый метод позволил найти дисперсию двулучепреломления  $\sigma\Delta = 0.07$  рад/м.

Выражения (6) отличаются от аналогичных выражений, полученных в [6]. Результаты [6, 7] основаны на представлении фундаментальной матрицы решений уравнения связанных волн в виде  $\hat{U}(z) = \exp \int \hat{a}(z) dz$ . Из сравнения рассчитанной таким образом полной матрицы Джонса с измеренной экспериментально определяется в них дифференциальная матрица  $\hat{a}(z)$ . Однако по теореме Лаппо-Данилевского [8] представление фундаментальной матрицы решений возможно, только если матрицы  $\hat{a}(z)$  и  $\int \hat{a}(z) dz$  перестановочны, что не выполняется для произвольной зависимости  $\hat{a}(z)$ . Кроме того, аналитические решения, известные для  $\alpha(z)$ ,  $\beta(z)$ ,  $\gamma(z)$  для регулярного волокна [3] и удовлетворяющие (6), не удовлетворяют уравнениям, полученным в [6].

#### Литература

- [1] Barnoski M., Jensen S. — Appl. Opt., 1976, v. 15, N 7, p. 2212—2415.
- [2] Rogers A. — Appl. Opt., 1981, v. 20, N 7, p. 1060—1074.
- [3] Ross J. — Appl. Opt., 1982, v. 21, N 19, p. 3489—3495.
- [4] Vos J., Blaisse B. — Opt. Acta, 1970, v. 17, N 3, p. 197—201.
- [5] Аззам Р., Башара Н. Эллипсометрия и поляризованный свет. М., 1981. 442 с.
- [6] Lubnau D. — Appl. Opt., 1983, v. 22, N 3, p. 377—378.
- [7] Carbone F., Borelles N., Kesk D. — J. Quant. Electron., 1972, v. 8, N 2, p. 220—226.
- [8] Демидович Б. М. Лекции по математической теории устойчивости. М., 1967. 263 с.

Поступило в Редакцию 3 апреля 1984 г.

### ТОМОГРАФИЧЕСКОЕ ИССЛЕДОВАНИЕ ПРОСТРАНСТВЕННОГО РАСПРЕДЕЛЕНИЯ ИНТЕНСИВНОСТИ ИЗЛУЧЕНИЯ

Левин Г. Г., Семенов Э. Г., Старостенко О. В.

В настоящей работе исследуется возможность диагностики распределения интенсивности в сечении светового поля томографическими методами с использованием рассеивающих сред. Для этого решается обратная задача — нахождение интенсивности исследуемого поля по рассеянной части излучения, измеренной с различных направлений.

Рассматриваемая схема исследования аналогична предложенной в [1]: тонкий тест-объект с известным распределением коэффициента экстинкции  $\sigma_0(x, y)$  располагается перпендикулярно вектору светового потока с искомым распределением интенсивности  $I_0(x, y)$ . Исходными данными для восстановления  $I_0(x, y)$  служат проекции  $I(p, \theta)$ . Они представляют собой измеренную



интенсивность  $I(p, \theta)$  поля, рассеянного неоднородностями, лежащими в плоскости  $(x, y)$  на прямой  $x \cos \theta + y \sin \theta - p = 0$ , причем направление наблюдения (угол  $\theta$ ) совпадает с направлением рассеяния.

Для диагностики излучения будем использовать слабо рассеивающие среды, для которых справедливо приближение однократного рассеяния, т. е. флуктуации параметров среды невелики и интенсивность рассеянного поля мала. Поле при распространении в такой среде будет испытывать ослабление из-за рассеяния по всем направлениям на неоднородностях среды.

В [1] для решения задачи рассеяния света неоднородной средой использовалось уравнение переноса излучения (УПИ), и была получена связь между интенсивностями падающего и рассеянного полей и параметрами рассеяния среды, а также выражение для проекций  $I(p, \theta)$

$$I(p, \theta) = \iint_{-\infty}^{\infty} I_0(x, y) f_{\perp}(x, y) \sigma_0(x, y) \exp \left[ \int_0^{x \sin \theta - y \cos \theta} \sigma_0(x', y') dx' dy' \right] \times \delta(p - x \cos \theta - y \sin \theta) dx dy \exp \left[ - \iint_{-\infty}^{\infty} \sigma_0(x, y) \delta(x \cos \theta + y \sin \theta - p) dx dy \right], \quad (1)$$

где  $f_{\perp}(x, y) = \sigma_{\perp}(x, y) / \sigma_0(x, y)$  — индикатриса рассеяния, а  $\sigma_{\perp}(x, y)$  — дифференциальное сечение в перпендикулярном направлении. В последующих выкладках будем предполагать, что  $f_{\perp}(x, y) = \text{const}$ , т. е. обладает свойством однородности.

Воспользуемся выражением (1) для определения  $I_0(x, y)$ . Выберем тест-объект с постоянным значением  $\sigma_0(x, y)$ ; при этом условия выражение для скорректированных проекций  $I'(p, \theta) = I(p, \theta) e^{-\sigma_0 U}$  ( $U$  — диаметр пучка) запишется в виде

$$I'(p, \theta) = \sigma_{\perp} \iint_{-\infty}^{\infty} I_0(x, y) e^{\sigma_0(x \sin \theta - y \cos \theta)} \delta(p - x \cos \theta - y \sin \theta) dx dy. \quad (2)$$

Выражение (2) представляет собой интегральное уравнение, так называемое экспоненциальное преобразование Радона, которое отличается от известного [2] в литературе положительным показателем экспоненты, стоящей под интегралом. Однако это не приводит к существенному изменению алгоритма решения задачи восстановления  $I_0$  по набору проекций, измеренных под различными углами наблюдения  $\theta$ . В полярном представлении координат

$$x = r \cos \varphi, \quad y = r \sin \varphi$$

формула обращения скорректированных проекций  $I'(p, \theta)$  запишется в виде

$$I_0(r, \varphi) = \int_0^{\pi} d\theta \int_{-\infty}^{\infty} d\omega |\omega| \exp[i\omega r \cos(\varphi - \theta)] G_p \left( \sqrt{\omega^2 + \sigma_0^2}; \theta - i \text{sh}^{-1} \frac{\sigma_0}{\omega} \right), \quad (3)$$

где  $G_p$  — одномерный Фурье-образ скорректированных проекций по переменной  $p$ :  $G_p = F_p [I'(p, \theta)]$ .

Таким образом, выражение (3) представляет собой решение обратной задачи восстановления  $I_0(x, y)$  по набору проекций  $I'(p, \theta)$ . Подробный анализ алгоритма восстановления экспоненциального преобразования Радона приведен в [2]. Однако, как известно, этот алгоритм значительно сложнее обычных алгоритмов восстановления томограмм [3]. Рассмотрим возможность получения более простого алгоритма восстановления за счет усложнения схемы эксперимента. Измеряя интенсивность поля в угле  $0 \leq \theta < \pi$ , выберем в качестве исходных данных для следующей обработки сумму проекций  $I_{\Sigma} = I(p, \theta) + I(p, \theta + \pi)$ . В [1] было получено выражение для  $I_{\Sigma}(p, \theta)$  для произвольной  $\sigma_0(x, y)$

$$I_{\Sigma}(p, \theta) = f_{\perp} \iint_{-\infty}^{\infty} I_0(x, y) \sigma_0(x, y) \delta(p - x \cos \theta - y \sin \theta) dx dy e^{-R(p, \theta)} [2 + R(p, \theta)], \quad (4)$$



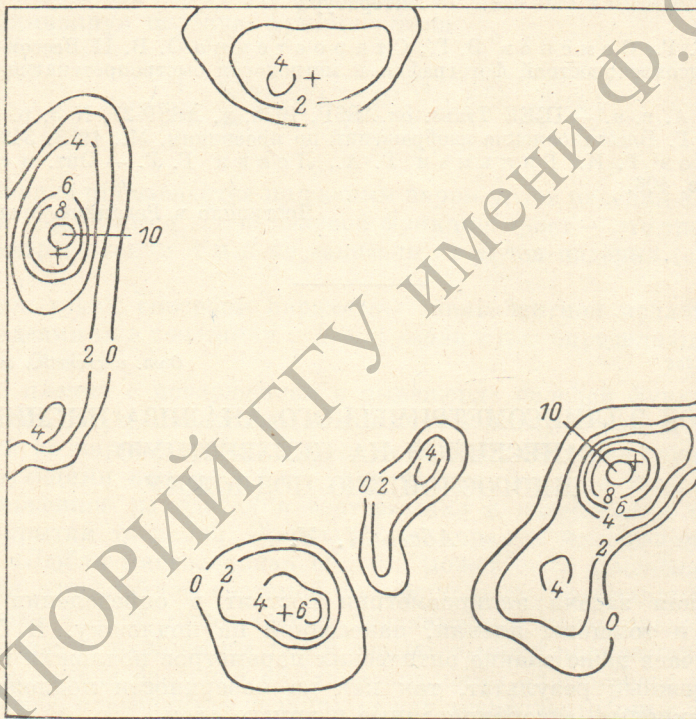
где

$$R(p, \theta) = \int_{-\infty}^{\infty} \int_{-\infty}^{\infty} \sigma_0(x, y) \delta(p - x \cos \theta - y \sin \theta) dx dy$$

— известная величина.

Из (4) видно, что суммарные скорректированные проекции  $I'_\Sigma(p, \theta) = I_\Sigma(p, \theta) e^R (2+R)^{-1}$  представляют собой преобразование Радона функции  $I_0(x, y) \sigma_0(x, y)$ . Обратная задача восстановления этой функции решается с помощью алгоритмов, подробно рассмотренных в [3]. Восстанавливая  $I'_\Sigma$  по какому-либо алгоритму компьютерной томографии и зная  $\sigma_0(x, y)$ , можно получить значения  $I_0(x, y)$ . Следует отметить, что при обработке скорректированных проекций шумы, обусловленные поправочной функцией  $e^R (2+R)^{-1}$ , не будут существенно влиять на результат восстановления. Это обстоятельство вытекает из условия однократного рассеяния, когда  $R < 1$  и  $e^R (2+R)^{-1}$  — медленно меняющаяся функция.

Отметим еще одно преимущество использования суммарных проекций: в этом случае для диагностики излучения могут использоваться рассеивающие



среды с произвольным распределением  $\sigma_0(x, y)$ , в то время как при обработке проекций, измеренных с одной стороны, необходимо использовать среды с  $\sigma_0 = \text{const}$ .

В целях исследования возможности применения томографических методов для определения структуры падающего излучения был проведен модельный эксперимент. В качестве тест-объекта была выбрана правильная шестигранная плексигласовая призма с отполированной поверхностью. На призму перпендикулярно к ее основанию падали 4 лазерных пучка со взаимной интенсивностью 1 : 1 : 0.8 : 0.5. Параллельно каждой грани призмы фиксировалась фотоленка. На нее попадала составляющая излучения, рассеянная средой перпендикулярно к грани. После операции фотометрирования полученные данные из 128 точек в каждой проекции сглаживались и нормировались, что приводило к существенному уменьшению шума. Восстановление осуществлялось с помощью итерационного алгоритма [4] на матрице  $32 \times 32$  отсчета, использовалась априорная информация о положительности функции  $I_0(x, y)$



и ограниченности области ее задания. В результате восстановления после 100 итераций была получена томограмма, представленная на рисунке в виде изолиний. Из рисунка видно, что расположение максимумов распределения интенсивности на томограмме практически совпало с истинным положением максимумов функции  $I_0(x, y)$ , которые показаны на рисунке крестами. Соотношение восстановленной интенсивности пучков составило  $1 : 0.96 : 0.6 : 0.45$ . На томограмме видны также артефакты, обусловленные малым числом проекций и ошибками измерений координат проекций. Необходимо отметить, что томография выдвигает очень жесткие требования к точности измерения координат проекций и их значениям в различных точках. Так, в нашем случае ошибка измерения угла зондирования на  $2^\circ$  приводила к появлению дополнительных артефактов, амплитуда которых составляла  $0.71_0$ .

Проведенный эксперимент подтвердил принципиальную возможность исследования оптического излучения томографическими методами с помощью рассеивающих сред.

Авторы выражают признательность К. П. Аверьянову, пробудившему интерес к решению данной задачи, и Г. А. Гильман за выполнение расчетов на ЭВМ.

#### Литература

- [1] Левин Г. Г., Семенов Э. Г., Старостенко О. В. II Всесоюз. науч.-техн. конф. по высокоскоростной фотографии и метрологии быстропротекающих процессов. М., 1983.
- [2] Bellini A. e. a. — IEEE Trans. on ASSP, 1979, v. ASSP-27, N 3, p. 213—218.
- [3] Хермен Г. Восстановление изображений по проекциям. М., 1983. 349 с.
- [4] Вишняков Г. Н., Гильман Г. А., Левин Г. Г. — Опт. и спектр., 1985, т. 58, в. 2, с. 406.

Поступило в Редакцию 6 апреля 1984 г.

УДК 535.32 : 539.238

Опт. и спектр., т. 58, в. 5, 1985

## МЕТОД ЭЛЛИПСОМЕТРИЧЕСКОГО АНАЛИЗА ПЛЕНКИ, НАНЕСЕННОЙ НА НЕИЗВЕСТНУЮ МНОГОСЛОЙНУЮ ПОДЛОЖКУ

Абаев М. И.

Классическая задача эллипсометрии состоит в определении показателя преломления и толщины пленки, нанесенной на подложку. В большинстве реальных случаев даже знание оптических параметров подложки не позволяет получить надежный результат, так как на поверхности подложки имеются переходные, окисные, адсорбированные и другие слои.

В [4] описано взаимодействие плоской монохроматической волны с многослойной системой. В удобном для эллипсометрии виде результат этого рассмотрения можно записать в виде [2]

$$\operatorname{tg} \psi_j e^{i\Delta_j} = \frac{R_{j,0}^p}{R_{j,0}^s}, \quad R_{j,0}^p = \mp \frac{U_{j+1} - Y_j}{U_{j+1} + Y_j}, \quad Y_j = U_j \frac{Y_{j-1} + U_{j-1} \operatorname{tg} \delta_j}{U_j + Y_{j-1} \operatorname{tg} \delta_j},$$

$$U_j^p = \frac{N_j}{\cos \varphi_j}, \quad U_j^s = N_j \cos \varphi_j, \quad (1)$$

где  $R_{j,0}$  — обобщенные коэффициенты Френеля для границы всей-многослойной системы из  $j$  слоев с верхней средой (знак «минус» берется для  $p$ -компоненты, знак «плюс» для  $s$ -компоненты), величины  $U$  и  $Y$  имеют смысл высокочастотных адмиттансов (проводимостей), а  $\delta_j$  — фазовая толщина  $j$ -го слоя,

$$\delta_j = \frac{2\pi}{\lambda} d_j N_j \cos \varphi_j.$$